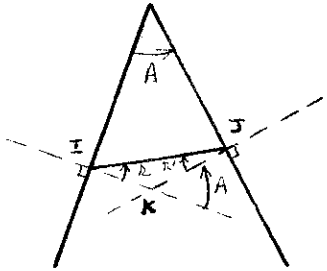


Partie A: Etude d'un prisme.

I.1) cf. cours.

I.2) 1 -  $\sin i = n \sin r$  (1);  $n \sin r' = \sin i'$  (2)



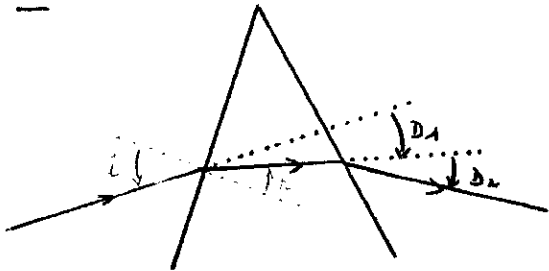
En exprimant que la somme des angles du triangle IJK est  $\pi$ , il vient :

$$r + r' + (\pi - A) = \pi \quad (*)$$

donc  $A = r + r'$  (3)

(\*) Attention : les choix d'orientation de l'énoncé peuvent être source d'ambiguïté...

2 -



$$D = D_1 + D_2$$

or  $\begin{cases} D_1 = i - r \\ D_2 = i' - r' \end{cases}$  (même remarque \*)

donc  $D = i + i' - A$

I.3)  $D(i) = i + i'(i) - A$

$$\frac{dD}{di}(i) = 0 \Leftrightarrow 1 + \frac{di'}{di}(i) = 0$$

or  $\begin{cases} \cos i \cdot di = n \cdot \cos r \cdot dr \\ n \cos r' \cdot dr' = \cos i' \cdot di' \\ dr + dr' = 0 \end{cases}$

(par différentiation de (1), (2) et (3))

donc  $\frac{di'}{di} = - \frac{\cos r'}{\cos r} \cdot \frac{\cos i}{\cos i'}$

donc  $\frac{dD}{di} = 0 \Leftrightarrow \cos r' \cdot \cos i = \cos r \cdot \cos i'$   
 $\Leftrightarrow \sin^2 i' = \sin^2 i$  } après un peu de travail...  
 $\Leftrightarrow \begin{cases} i' = -i \\ \text{ou} \\ i' = i \end{cases}$  (impossible car alors  $r' = -r$  alors que  $A \neq 0 \dots$ )  
COFO

I.4) Soit  $i_m$  l'incidence donnant la situation de déviation minimale.

Alors,  $i'_m = i_m$  donc  $r'_m = r_m$  (d'après (1) et (2))

donc  $2r_m = A$  (d'après (3))

donc  $\sin i_m = n \cdot \sin\left(\frac{A}{2}\right)$  (d'après (4))

Par ailleurs,  $D_m = D(i_m)$  soit  $D_m = i_m + i_m - A$  (car  $i'_m = i_m$ )

donc  $\frac{D_m + A}{2} = i_m$

donc  $n \cdot \sin\left(\frac{A}{2}\right) = \sin\left(\frac{D_m + A}{2}\right)$

Méthode exacte : vue en sup. en TP....

II.1) Une régression linéaire donne  $\begin{cases} a = 1,534 \\ b = 9,104 \text{ nm}^2 \end{cases}$

II.2) L'équation établie à la question I.4 montre que  $D_m$  est fonction de  $n$ , donc de  $\lambda$ .

II.3)  $\sin i_0 = n(\lambda_0) \cdot \sin\left(\frac{A}{2}\right)$  (cf. I.4) donc  $i_0 = 51,3^\circ$

II.4) Différencier les relations citées : (ici  $i$  est fixé à la valeur  $i_0$  ; c'est  $n$  qui est susceptible de changer...)

$$\begin{cases} 0 = dn \cdot \sin r + n \cdot \cos r \cdot dr \\ dn \cdot \sin r' + n \cdot \cos r' \cdot dr' = \cos i' \cdot di' \\ 0 = dr' + dr \end{cases}$$

Or  $i' = i = i_0$  et  $r = r' = \frac{A}{2}$  (mini. de déviation)

donc  $di' = \frac{2 \sin\left(\frac{A}{2}\right)}{\cos i_0} dn$  (par simple substitution)

donc  $\frac{di'}{d\lambda} = 2 \cdot \frac{\sin\left(\frac{A}{2}\right)}{\cos(i_0)} \frac{dn}{d\lambda}$

II.5.1) cf. TP de sup...

II.5.2). Le centre de l'image de la fente F est le foyer de  $O_2$ .

l'ensemble des incidences sur la face d'entrée du prisme est  $[i_0 - d_i; i_0 + d_i]$

avec  $d_i = \frac{l}{2f'}$

donc l'ensemble des "émergences" de la face de sortie est  $[i_0 - d_i; i_0 + d_i]$

car  $i' = i_0$  et  $|d_i'| = |d_i|$

donc la largeur de l'image est  $2 \frac{l}{2f'} \times d_i$ . Mais  $f_{O_2}' = f'$ , donc

la largeur de l'image est l.

II.5.3) soit  $\Delta\lambda = 1 \text{ nm}$ .

$i'(\lambda_1) = i'(\lambda_0 - \Delta\lambda) \approx i'(\lambda_0) - \Delta\lambda \cdot \left. \frac{di'}{d\lambda} \right|_{\lambda_0}$  (DL ordre 1)

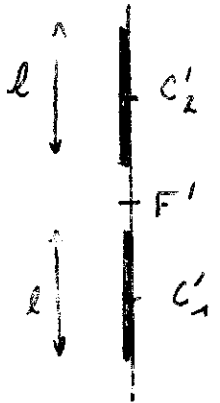
de même,

$i'(\lambda_2) = i'(\lambda_0 + \Delta\lambda) \approx i'(\lambda_0) + \Delta\lambda \cdot \left. \frac{di'}{d\lambda} \right|_{\lambda_0}$

Si on note  $F'$  le foyer de  $O_2$ ,  $C_1$  et  $C_2$  les centres des images de F correspondant respectivement à  $\lambda_1$  et  $\lambda_2$  alors.

$\overline{F'C_1} = f' \cdot (i'(\lambda_1) - i'(\lambda_0))$  (conditions de Gauss;  $\tan(i' - i_0) \approx i' - i_0$ )  
 $\overline{F'C_2} = f' \cdot (i'(\lambda_2) - i'(\lambda_0))$

donc  $\overline{F'C_1} = -2f' \cdot \Delta\lambda \cdot \frac{\sin(A/2)}{\cos(i_0)} \cdot \frac{dn(\lambda_0)}{d\lambda}$   
 $\overline{F'C_2} = -\overline{F'C_1}$



Le schéma ci-contre montre que ces images sont séparées si

$C_1 C_2 \geq l$

donc si

$f' \geq l \cdot \frac{\cos(i_0)}{4 \cdot \sin(A/2)} \cdot \frac{1}{\Delta\lambda \cdot \left| \frac{dn(\lambda_0)}{d\lambda} \right|} = 3,3 \text{ mm}$

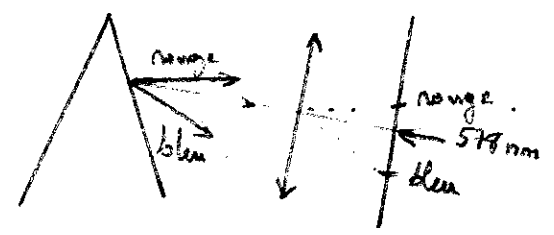
donc la séparation des images est facilement accessible au laboratoire...

II.5.4) On observe sur l'écran le spectre de la lumière blanche.

$$\frac{dD}{d\lambda} = \frac{di'}{d\lambda} < 0 \quad (\text{car } \frac{dn}{d\lambda} = -\frac{2\lambda}{\lambda^3} < 0)$$

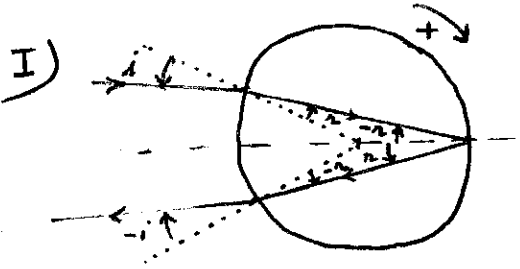
donc  $D(\text{rouge}) < D(\text{bleu})$  ;

Ainsi, le spectre est ordonné comme le montre le schéma ci-contre →



II.5.5) Autre montage : on substitue au prisme un réseau.

Partie B :



La déviation s'écrit :

$$D = D_1 + D_2 + D_3$$

$$D = (-i+r) + (\pi + 2r) + (r-i)$$

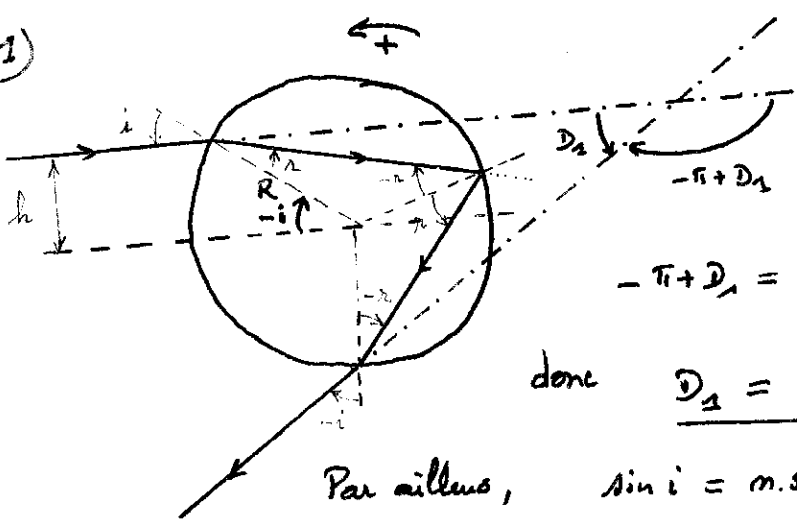
$$D = \pi + 2.(2r-i)$$

On souhaite avoir  $D = \pi$ . Pour cela, il faut et il suffit que  $2r=i$

Or,  $\sin i = n \cdot \sin r$  et on fait l'hypothèse d'incidence faible donc  $i \approx n \cdot r$ .

Donc, avec des rayons parallèles ( $i \approx n \cdot r$ ), la déviation vaut  $\pi$  ( $2r=i$ ) si et seulement si  $n = 2$

II.1.1)



On écrit  $-\pi + D_2$  comme la somme de trois déviations.

$$-\pi + D_2 = (-i+r) + (-\pi + 2r) + (r-i)$$

$$\text{donc } D_2 = 4r - 2i$$

Par ailleurs,  $\sin i = n \cdot \sin r$  et  $r = + \sin i$

$$\text{donc } D_2 = + 4 \arcsin\left(\frac{r}{n}\right) - 2 \arcsin(r)$$

$$\left. \frac{dD_1}{da} \right|_{\alpha_m} = 0 \Leftrightarrow \frac{\frac{4}{n}}{\sqrt{1 - \left(\frac{\alpha_m}{n}\right)^2}} - \frac{2}{\sqrt{1 - \alpha_m^2}} = 0$$

$$\Leftrightarrow \alpha_m = \sqrt{\frac{4 - n^2}{3}}$$

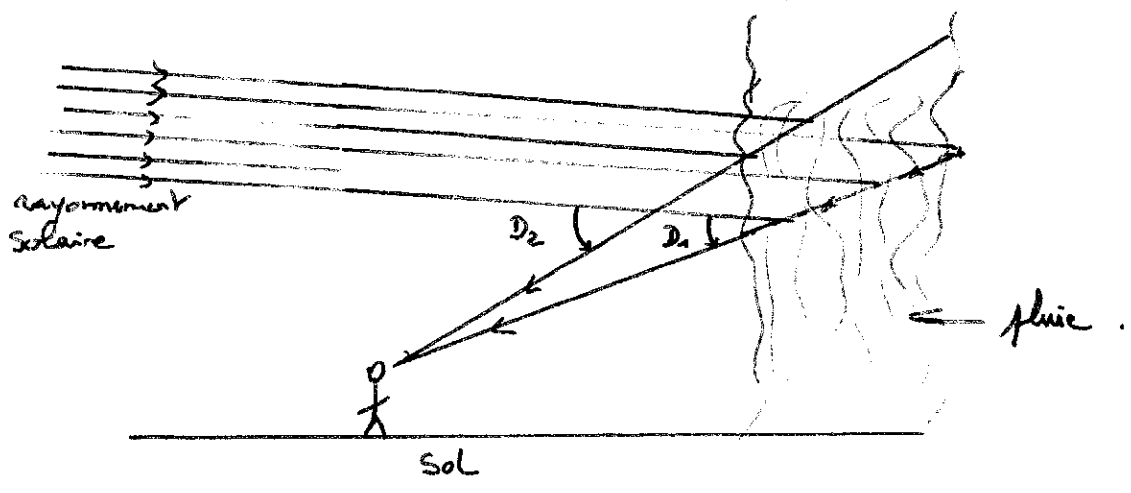
A.N:  $\alpha_m = 0,86$  ;  $D_{1m} = 41,5^\circ$

II.1.2)  $D_{2m} = 51,9^\circ$

II.2.1). Pourquoi un arc ? A cause de la symétrie de révolution autour de l'axe soleil-œil.

- Pourquoi lumineux ? Aux étudiants d'inventer la réponse car l'énoncé ne permet pas de montrer qu'en les minima de déviation l'intensité est plus forte qu'ailleurs.
- Pourquoi, quand il est visible, le second arc est moins intense ? parce qu'après deux réflexions dans une goutte, l'onde lumineuse a une amplitude amoindrie deux fois par le phénomène réflexion/réfraction...

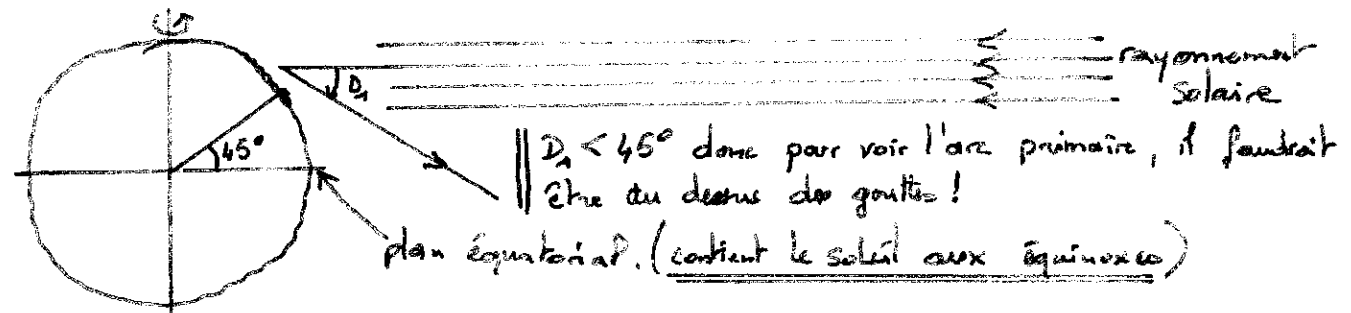
II.2.2)



II.2.3) Les rayons angulaires moyens(!) des arcs sont  $D_1$  et  $D_2$ .

Sur le schéma ci-dessus on constate que l'arc secondaire est vu au dessus de l'arc primaire (car  $D_2 > D_1$ ).

II.2.4)



II.2.5)  $D_1$  et  $D_2$  sont des fonctions de l'indice et celui-ci est fonction de la longueur d'onde. Donc il y a autant d'arcs primaires que de longueurs d'onde dans le spectre solaire (idem pour les arcs secondaires...)

$$\left. \begin{aligned} D_2(\text{violet}) &= 53,6^\circ & ; & D_2(\text{rouge}) = 50,2^\circ \\ D_1(\text{violet}) &= 40,6^\circ & ; & D_1(\text{rouge}) = 42,4^\circ \end{aligned} \right\}$$

